

Evaluation of Beclin 1 and Atg10 gene expression of the autophagy pathway in acute lymphoblastic leukemia patients

Seyede Zahra Hasanpour¹, Mehdi Allah bakhshian farsani², Abbas Hajifathali³, Mohammad hossein Mohammadi²

1.Masters student, Department of Hematology, Faculty of Paramedicine, Shahid Beheshti University of Medical Sciences, Tehran, Iran

2.Assistant Professor, Department of Hematology, Faculty of Paramedicine, Shahid Beheshti University of Medical Sciences, Tehran, Iran,Tel:021-22717504,mohamad.mohamadi2@gmail.com

3.Professor, Bone Marrow Transplantation Center, Taleghani Hospital, Tehran, Iran.

ABSTRACT

Background and Aim: Acute lymphoblastic leukemia is the most common cancer in children and juveniles and is also seen in adults with lower frequency. Autophagy is a programmed catabolic process of the cell for destruction of damaged organs and proteins which is carried out by lysozymes. Disruption of autophagy leads to abnormalities in cellular processes associated with cancer.

Materials and Methods: In this study, we compared the expression of Beclin 1 and Atg 10 genes between 50 patients with B-ALL and 18 healthy subjects as our control group, by using RNA extraction and cDNA synthesis, and RT-PCR method. Data were analyzed by statistical tests.

Results: The majority of B-ALL patients showed a significant reduction in the Beclin1 and Atg 10 genes compared to control group ($P < 0.05$) and the mean expression of the genes ($2^{-\Delta Ct} \pm SD$) were 0.10 ± 0.49 and 1.01 ± 0.27 for ALL patients and control group and 0.15 ± 0.44 and 1.07 ± 0.85 for Atg10 and Beclin1 respectively. There was no significant correlation between expression levels of Beclin1 and Atg10 in these patients ($r = -0.013$, $P = 0.926$).

Conclusion: Considering the reduced expression levels in the essential genes of autophagy in ALL patients in our study and also other studies in this field, disruption of autophagy may be involved in leukomogenesis.

Keyword: Acute lymphoblastic leukemia, Autophagy, Gene expression, Beclin1, Atg 10, RT-PCR

Received: Dec 16, 2018

Accepted: Jan 08, 2018

How to cite the article:

Hasanpour SZ, Allah Bakhshian Farsani M, Hajifathali A, Mohammadi MH. Evaluation of Beclin 1 and Atg10 gene expression of the autophagy pathway in acute lymphoblastic leukemia patients. SJKU 2018; 23 (6): 142-151.

Copyright © 2018 the Author (s). Published by Kurdistan University of Medical Sciences. This is an open access article distributed under the terms of the Creative Commons Attribution-Non Commercial License 4.0 (CC BY-NC), where it is permissible to download, share, remix, transform, and buildup the work provided it is properly cited. The work cannot be used commercially without permission from the journal.

بررسی بیان ژن‌های ۱ Beclin و Atg ۱۰ مسیر اتوفازی در مبتلایان با لوسومی لنفوپلاستی حاد

سیده زهرا حسن پور^۱، مهدی الله بخشیان فارسانی^۲، عباس حاجی فتحعلی^۳، محمد حسین محمدی^۲

۱. دانشجوی کارشناسی ارشد، گروه خون شناسی و بانک خون، دانشکده پرایپزشکی، دانشگاه علوم پزشکی شهید بهشتی، تهران، ایران.
۲. استادیار، گروه خون شناسی و بانک خون، دانشکده پرایپزشکی، دانشگاه علوم پزشکی شهید بهشتی، تهران، ایران، تلفن ثابت: ۰۲۲۷۱۷۵۰۴ - mohamad.mohamadi2@gmail.com.
۳. استاد، مرکز پیوند مغز استخوان، بیمارستان آیت الله طالقانی، تهران، ایران.

چکیده

زمینه و هدف: لوسومی لنفوپلاستیک حاد (ALL) سرطانی است که اغلب، کودکان و نوجوانان را در معرض خطر قرار می‌دهد و با نسبت کمتر در بزرگسالان نیز دیده می‌شود. اتوفازی فرایند کاتابولیک برنامه ریزی شده سلول برای تخریب اندام‌ها و پروتئین‌های آسیب دیده است و این عمل را توسط لیزوژم‌ها به انجام می‌رساند. اختلال در اتوفازی منجر به ناهنجاری‌هایی در فرآیندهای سلولی می‌شود.

روش بررسی: در این مطالعه، بیان ژن‌های ۱ Beclin و Atg ۱۰ در ۵۰ بیمار مبتلا به B-ALL در مقایسه با ۱۸ فرد سالم به عنوان شاهد با استفاده از استخراج RNA و سترن‌cDNA و در آخر روش RT-PCR و به کارگیری آزمون‌های آماری ارزیابی شد. **یافته‌ها:** اکثر بیماران B-ALL کاهش معنی داری در ژن‌های ۱ Beclin و Atg ۱۰ را نسبت به گروه شاهد نشان دادند ($P < 0.05$) و میانگین سطح بیان ($SD \pm \Delta Ct$) برای بیماران ALL و افراد کنترل به ترتیب 0.49 ± 0.10 و 0.27 ± 0.10 برای Atg ۱۰ و 0.44 ± 0.15 و 0.85 ± 0.07 برای Beclin ۱ بود. همبستگی معنادار بین بیان ژن‌های ۱ Beclin و Atg ۱۰ در این بیماران مشاهده نشد ($P = 0.926$) و ($r = -0.013$).

نتیجه‌گیری: با توجه به کاهش سطوح بیان شده در ژن‌های ضروری اتوفازی در بیماران B-ALL تحت مطالعه‌ی ما، تصور بر این است که اختلال در اتوفازی می‌تواند در لکوومورثز دخیل باشد و به عنوان عاملی مؤثر در پیشبرد سرطان در نظر گرفته شود.

کلیدواژه: لوسومی لنفوپلاستیک حاد، اتوفازی، بیان ژن، RT-PCR Atg ۱۰، Beclin ۱

وصول مقاله: ۹۶/۹/۲۵ اصلاحیه نهایی: ۹۷/۱۰/۱۷ پذیرش: ۹۷/۱۰/۲۴

سلول، هایپوکسی، آسیب به DNA، عفونت با میکرو ارگانیسم‌ها و پاتوژن‌ها و استرس اکسیداتیو در سلول فعال تر می‌شود و بقای سلول را حفظ می‌کند (۶). از تنظیم خارج شدن اتوفاژی باعث استعداد ابتلا به اختلالات مختلف از جمله سرطان می‌شود. در لوسومی‌ها نیز بسته به زمینه‌ی سلول و فاکتورهای تنظیمی و مسیرهای سیگنالینگ در گیر در سلول، مکانیسم عمل اتوفاژی متفاوت است (۷). در طی چند سال اخیر مقالات متعددی نقش اتوفاژی را در سلول‌های لوسومیک حاد بررسی کرده اند که نشانگر این است که اتوفاژی در لوسومی حاد مانند یک شمشیر دو لبه عمل می‌کند. در برخی از مطالعات گفته شده که اتوفاژی مکانیسمی سرکوب کننده در برابر تومور زایی و رشد تومور است. این نقش اتوفاژی ممکن است به دلیل افزایش تخریب پروتئین‌هایی باشد که منجر به تحریک رشد سلولی می‌شوند و در صورتی که تعداد این پروتئین‌ها در سیتوزول کاهش نیابد ممکن است به تکثیر افسار گسیخته سلول منجر شود (۸). همچنین اتوفاژی با حذف ارگان‌های آسیب دیده مثل میتوکندری و پراکسی زوم که حاوی گونه‌های واکنش گر اکسیژن (ROS) هستند، از آسیب به DNA ی سلول جلوگیری می‌کند و باعث کاهش ریسک جهش و کاهش ناپایداری در زنوم می‌شود؛ بنابراین از ایجاد تومور و رشد آن جلوگیری می‌کند (۹). برخلاف نقش تومورسپرسوری، اتوفاژی ممکن است با مقاومت در برابر داروهای شیمی‌درمانی و مکانیسم‌های مختلف به بقای سلول سرطانی نیز کمک کند و یک القاکننده تومور به حساب بیاید، بهخصوص در سرطان‌های توپر به دلیل آنتیوژنز و عدم وجود مواد مغذی کافی برای سلول و یا در سلول‌های متاستازی که به علت جدایی از ماتریکس خارج سلولی و مهاجرت، سلول‌های سرطانی با کمبود انرژی مواجه می‌شوند، اتوفاژی به عنوان مکانیسم محافظتی زمینه و انرژی مورد نیاز برای رشد سلول سرطانی را فراهم می‌کند. علاوه بر این، اتوفاژی ممکن است با تخریب میتوکندری

مقدمه

سرطان خون با تکثیر افسار گسیخته‌ی سلول بدخیم در مغز استخوان و خون محیطی بروز می‌کند. در بیماران مبتلا به لوسومی لنفوبلاستی حاد (ALL) اختلال در لنفوبلاست‌های تمایز نیافته باعث می‌شود این سلول‌ها در مغز استخوان و سیستم لنفاوی به تعداد زیاد تولید و در ادامه وارد جریان خون شوند. در حالی که در افراد سالم این سلول‌ها محدود به مغز استخوان اند (۱). ALL هم در کودکان و هم در افراد بالغ امکان وقوع دارد و نقطه‌ی اوج آن بین سین ۲ تا ۵ سال است (۲). میزان بقا در لوسومی لنفوبلاستی حاد در دوران کودکی نزدیک ۹۰٪ است، ولی درمان در نوزادان و افراد میان‌سال نیاز به پیشرفت دارد (۳). علت اصلی ALL دقیقه مشخص نیست اما وجود برخی از اختلالات کروموزومی و ژنتیکی در سلول بلاست، فاکتورهای رونویسی کلیدی و مسیرهای سیگنالینگ سلولی را تحت تأثیر قرار می‌دهد (۱). با توجه به اینکه ALL رایج‌ترین سرطان در کودکان و نوجوانان است، در بزرگ‌سالان نیز با نسبت کمتری دیده می‌شود. تاکنون پیشرفت‌های چشمگیری در زمینه‌ی درمان این بیماری انجام گرفته است به طوری که میزان بقای طولانی مدت در کودکان به بیش از ۸۵٪ و در بزرگ‌سالان به حدود ۴۵٪ رسیده است (۳ و ۴) ولی با این وجود هنوز چالش‌هایی در درمان ALL مطرح است که نیازمند بررسی‌های بیشتر در این زمینه است. نظر به اینکه ممکن است در سلول‌های سرطانی مراحل تکثیر، متابولیسم، بقا و در نهایت مرگ سلول چار اختلال می‌شود، اتوفاژی به عنوان مکانیسمی حیاتی در سلول که به نوعی در کنترل تکثیر و متابولیسم و همچنین کنترل بقا و مرگ سلولی دخیل است، در بیماران ALL مطرح شده است (۵)؛ بنابراین ممکن است تحقیق روی مکانیسم‌های کمتر شناخته شده در سلول زمینه را برای شناخت عوامل ایجاد کننده سرطان فراهم کند و در درمان آن نیز کمک کننده باشد. اتوفاژی در طی شرایط نامطلوب در سلول، مثل گرسنگی و فقر غذایی در

اساس در این پژوهش، تلاش بر آن بوده است که با در نظر داشتن طبقه‌بندی بیماران مبتلایان به ALL به ۴ زیرگروه B- pre B-ALL, early pre B-ALL, B-ALL و mature ALL شامل ۱ Beclin ۱ و ۱۰ Atg در این بیماران نسبت به افراد سالم بررسی شود.

روش بررسی

جمعیت مورد مطالعه: این پژوهش از نوع مورد- شاهد است. در این پژوهش، ۵۰ بیمار مبتلا به لوسومی لنفوبلاستی حاد از نوع B-ALL (پس از اخذ رضایت کامل از تمامی آن‌ها) و همچنین ۱۸ فرد به ظاهر سالم به عنوان گروه کنترل موردنبررسی قرار گرفتند. انتخاب بیماران بر حسب ترتیب مراجعه‌ی آن‌ها به مراکز درمانی تحت مطالعه در سال‌های ۱۳۹۴ تا ۱۳۹۶، در دانشگاه علوم پزشکی شهید بهشتی انجام شده است و برای انتخاب گروه کنترل نیز همسان‌سازی مطرح نبوده است. تشخیص با توجه به مشاهده‌ی مورفولوژی سلول‌ها روی لام خون محیطی (PB) یا لام مغز استخوان (BM) و تعیین ایمونوفوتایپ سلول‌ها با فلوسایتمتری و آزمایش مولکولی انجام گرفت. طبق نظام طبقه‌بندی فرانسوی-آمریکایی-بریتانیایی (FAB)، بیماران به چهار زیرگروه شامل pro B-ALL, early preB-ALL, pro B-ALL و mature B-ALL تقسیم شدند. برای فلوسایتمتری، از آنتی‌بادی‌های در برابر CD19, CD10, CD20, CD22, TDT و CD20 استفاده شد.

استخراج RNA و سنتر:cDNA

برای تعیین سطح بیان mRNA بالافاصله پس از نمونه‌برداری، سلول‌های تک‌هسته‌ای در نمونه‌ی خون محیطی با استفاده از سانتریفوژ شدن فایکول جدا شدند و دو بار با بافر فسفات (PBS) شسته شدند. استخراج RNA با استفاده از کیت (Qiagen(USA) و بر اساس پروتکل انجام شد. سپس کیفیت RNA ی استخراج شده با استفاده

های آسیب‌دیده‌ی حاوی ROS در حفظ سلول سلطانی کمک‌کننده باشد (۸ و ۹). اتوفاژی به طور گسترده به فرایندهای کاتابولیک سلولی اشاره می‌کند که در آن مواد سیتوپلاسمی برای تخریب به لیزوژوم‌ها منتقل می‌شوند و اغلب به عنوان سازوکاری برای حفظ بقای سلول هست (۱۰). به عنوان مثال از طریق حذف پروتئین‌هایی که به اشتباه تا خورده و تجمع یافته‌اند و همچنین حذف اندامک‌های آسیب‌دیده در سلول، زمینه را برای هماتوپوئزی فراهم می‌کند. مکانیسم مولکولی اتوفاژی و پروتئین‌های مرتبط با این مسیر که به آن‌ها پروتئین‌های مرتبط با اتوفاژی (Atg) می‌گویند. این پروتئین‌ها به صورت سلسله مراتبی برای تنظیم هر مرحله از فرایند اتوفاژی به کار گرفته می‌شوند (۱۱). فرآیند اتوفاژی به طور کلی از چندین مرحله متوالی تشکیل شده است. این مراحل شامل: ۱) القای مسیرهای منتهی به اتوفاژی، ۲) انتخاب ارگان‌ها و پروتئین‌هایی که نیازمند تخریب هستند، ۳) هسته گذاری و تشکیل غشا (فاگوفور)، ۴) گسترش و تکامل اتوفاگوزوم، ۵) بازسازی اجزای مجدد استفاده شده ۶) ادغام لیزوژوم با غشاء اتوفاگوزوم و تشکیل فاگولیزوژوم و در نهایت ۷) تجزیه و بازیابی اجزای سلولی، که در این مراحل پروتئین‌هایی از جمله Beclin ۱ و Atg ۱۰ ایفاء می‌کنند (۱۲). پروتئین ۱ Beclin جزئی از کمپلکس Fsfatidil اینوزیتول-۳-کیناز کلاس III (PIK3C3) است که نقشی اساسی در هسته گذاری و تشکیل اتوفاگوزوم بر عهده دارد (۱۳) و همچنین به نظر می‌رسد در تومور زایی، نروژن و مرگ سلولی نیز دخالت داشته باشد (۱۴). Atg ۱۰ نیز پروتئینی است که در طی شکل‌گیری غشاء اتوفاگوزوم نقشی آنژیمی دارد (۱۳). تمرکز مطالعات بیشتر روی نقش اتوفاژی در ارتقا و یا سرکوب رشد سلول سلطانی است که ناشی از فعال‌سازی و یا مهار اتوفاژی طی لوسومی بوده است و بسته به زمینه‌ی سلول سلطانی، به عنوان ابزاری برای درمان این نوع بدخیمی هماتولوژی مدد نظر است (۸). بر همین

رقت هایی از cDNA آماده شده، تعیین شد. به عنوان کالیبراتور، میانگین بیان *Atg Beclin 1* و *Atg 10* در داوطلبان سالم به دست آمد. سپس مقادیر Ct حاصل از *Atg Beclin 1* و *Atg 10* در برابر ژن مرجع داخلی ABL، برای نمونه های ALL و افراد نرمال کنترل شد و در ادامه یک مقایسه آماری بین مقادیر نرمال شده از این نمونه ها انجام شد.

تجزیه و تحلیل آماری:

تجزیه و تحلیل آماری داده ها با استفاده از نرم افزار آماری SPSS و GraphPad Prism 6 انجام شد. با استفاده از Kolmogorov-Smirnov و Shapiro-Wilk تست، نرم افزار توزیع برای بیان نسی *Beclin 1* و *Atg 10* در بیماران ALL و گروه کنترل محاسبه شد. علاوه بر این، از آزمون t برای تعیین اختلاف معنی داری بین بیان ژن های *Atg 10* و *Beclin 1* در بیماران ALL و گروه کنترل وجود دارد، استفاده شد و همچنین از آزمون pearson خطی بین بیان *Atg 10* و *Beclin 1* استفاده شد. برای ارزیابی بیان ژن های *Atg 10* و *Beclin 1* بین زیر گروه های مختلف ALL از نظر FAB، تست One-Way ANOVA مورد استفاده قرار گرفت و نتایج به صورت میانگین ± خطای استاندارد (mean±SD) محاسبه شدند.

نتایج

مشخصات نمونه های بیماران: نمونه هایی که در این تحقیق مورد تجزیه و تحلیل قرار گرفتند از ۵۰ بیمار مبتلا به ALL که تازه تشخیص داده شده و هنوز تحت درمان قرار نگرفته بودند و از نظر جنس و سن و ویژگی های مورفو لوژیک متغیر بودند، دریافت گردید (جدول ۱). فراوانی بیماران از نظر زیر گروه های ALL و بر اساس دسته بندی مورفو لوژیک FAB / WHO در این مطالعه به شرح زیر است: ۵ مورد early pre B- ALL، ۱۴ مورد Pro B- ALL، ۲۰ مورد mature B- ALL و ۱۱ مورد Pre-B- ALL ALL

از الکتروفورز آن روی ژل آگارز ۱/۵٪ و مشاهده باند های RNA ۲۸s و ۱۸s که مربوط به RNA ریبوزمی اند بررسی شد. غلظت نمونه های RNA با استفاده از سنجش میزان جذب آن در طول موج ۲۶۰ نانومتر توسط دستگاه نانودرایپ سنجیده شد. سنتر cDNA به وسیله ای آنزیم نسخه بردار dT معکوس کاتالیز می شود به RNA الگو و پرایمر الیگو T نیاز دارد. برای سنتر از کیت (fermentase) استفاده شد. نمونه های c-DNA ساخته شده تا زمان انجام تست در ۲۰ درجه سانتی گراد نگهداری شدند و برای تائید صحت تولید cDNA سنتر شده توسط پرایمر ژن ABL تکثیر شد و محصول روی ژل آگارز ۱/۵٪ برده شد. به منظور تکثیر هر قطعه ژنی، یک جفت پرایمر اختصاصی برای هر ژن طراحی شد که شامل پرایمر مستقیم و معکوس بود. ژن ABL به عنوان ژن رفرانس و برای نرمالیزه کردن میزان بیان ژن های هدف انتخاب گردید.

سنچش کمی بیان ژن ها (qRT-PCR):

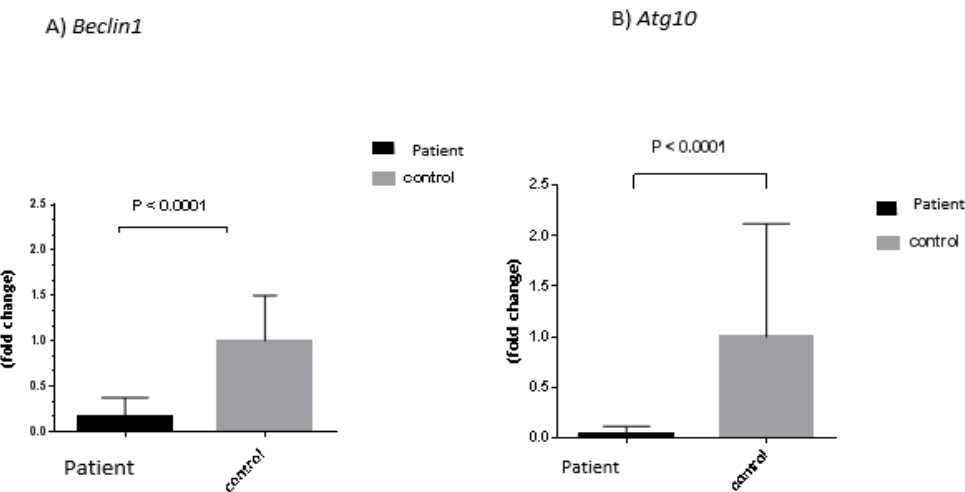
در این تحقیق به منظور تعیین میزان بیان ژن ها بعد از مرحله Real-time PCR تهیه معرف های لازم برای انجام نمونه ها به صورت دوتایی در دستگاه Rotor-Gene برای انجام تست قرار داده شدند. در ابتدا Ct ژن هدف از Ct رفرانس ژن کم می شود و به این ترتیب ΔCt گروه بیمار و کنترل به دست می آید. در مرحله بعد به منظور به دست آوردن میزان بیان نسبی ژن در گروه بیمار نسبت به گروه کنترل، از $2^{-\Delta Ct}$ گروه کنترل میانگین گرفته تا یک عدد واحد به دست آید و سپس تک تک در گروه بیماران را بر عدد دست آمده در گروه کنترل تقسیم می شود و به این ترتیب Fold change میزان بیان نسبی ژن ها در گروه بیماران نسبت به گروه کنترل به دست می آید. سطوح real-time PCR در نمونه های بیماران و افراد سالم مورد تجزیه و تحلیل قرار گرفت (۱۵). برای اعتبار سنجی روش آزمایش، کارایی (efficiency) تکثیر ژن های مرجع و هدف، با تهیه

جدول (۱): مشخصات دموگرافیک بیماران که بر اساس سن، در صد بلاست، جنس و زیر گروههای ALL مشخص شده است.

	مشخصات	تعداد بیماران (۵۰)
سن	میانگین: ۲۵/۳۴:	
	محدوده: ۱-۹۰:	
در صد بلاست	میانگین: ۷۴/۷۱:	
	محدوده: ۲۲-۹۸:	
جنس	مرد: (%۵۸)	
	زن: (%۴۲)	
زیر گروههای ALL	pro B-ALL: ۵(%۱۰)	
	early pre B-ALL: ۱۴(%۲۸)	
	pre B-ALL: ۲۰(%۴۰)	
	B mature-ALL: ۱۱(%۲۲)	

اختلاف معنی داری بین بیان mRNA ی ژن های *Beclin 1* و *Atg 10* در بیماران ALL و افراد سالم: بیان ($2^{-\Delta Ct} \pm SD$) برای بیماران ALL و افراد کنترل به ترتیب 0.49 ± 0.10 و 0.27 ± 0.10 برای *Atg 10* و 0.44 ± 0.15 و 0.85 ± 0.07 برای *Beclin 1* بود (شکل ۱).

بیان ژن های *Beclin 1* و *Atg 10* در بیماران ALL و افراد سالم: سطوح بیان ژن های *Beclin 1* و *Atg 10* در نمونه های بیماران و افراد سالم مورد تجزیه و تحلیل قرار گرفت و با توجه به مقایسه میانگین بیان ژن ها، مشاهده شد که



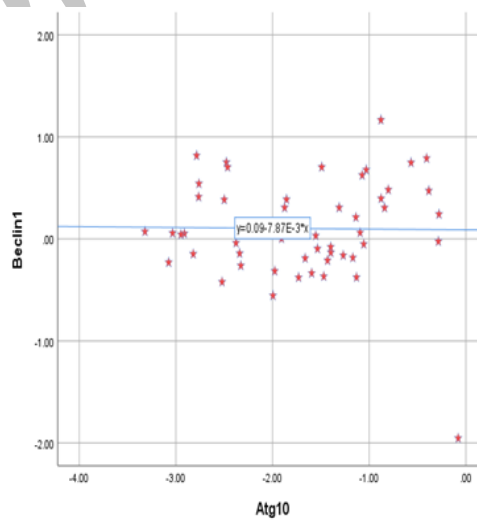
شکل (۱): مقایسه میانگین بیان ژن های *Atg10* و *Beclin 1* در دو گروه بیمار و کنترل است. A: نشان دهنده اختلاف معنادار بین میانگین بیان ژن *Beclin 1* در دو گروه بیمار و کنترل است ($p<0.001$). B: نشان دهنده اختلاف معنادار بین میانگین بیان ژن *Atg 10* در دو گروه بیمار و کنترل است ($p<0.001$).

بحث

بررسی ما نشان می دهد که ژن های اتوفازی در بیماران ALL با تغییراتی مواجه شده اند. در واقع اتوفازی مکانیسمی است که عملکرد آن به هر دو حالت سلامت و بیماری مرتبط است. در حالت طبیعی، به سازگاری سلول در شرایط تحت استرس، همچنین به توسعه و تمایز سلول، اینمی و طول عمر کمک می کند ولی فعالیت بیش از حد و یا کمتر از حالت نرمال اتوفازی می تواند در ایجاد برخی از بیماری ها از جمله سرطان دخیل باشد. در ارتباط با بد خیمی ها، اتوفازی در دو سطح متناقض نسبت به هم مطرح می شود که یکی در کمک به توسعه و پیشرفت سرطان و دیگری در سطح درمان سرطان است. نتایج ما در این مطالعه نشان داد که بیان ژن های اتوفازی شامل *Atg10* و *Beclin1* در بیماران ALL دچار کاهش شده است که برخلاف شرایط فیزیولوژیکی است. با مشخص کردن رنج طبیعی این ژن ها در جامعه کنترل نرمال و در نظر گرفتن حد بالایی ۹۵٪ اطمینان در میزان بیان این ژن ها در این افراد، مشاهده کردیم که از جامعه ۵۰ نفری از بیماران B-ALL، ۴۸ نفر کاهش میزان بیان *Atg10* را نشان دادند. در همین راستا بررسی هایی در سطح کلینیکال و بر روی سل لاین های تومورهای توپر و سل لاین های سرطان های هماتولوژیک انجام گرفته است که با نتایج ما همسو هستند. این نتایج نشان می دهد غیر فعال شدن ژن های خاصی از اتوفازی مانند *Beclin1* منجر به گسترش تومور در موش ها می شود و بیان ژن *Atg10* منجر به مهار تشکیل تومور سینه در مدل های موشی می شود (۱۶). مطالعاتی نیز نشان داد که ژن *Beclin1* به صورت یکنواخت در ۵۰٪ موارد سرطان پستان حذف می شود (۱۷). در سرطان سرویکس نیز *Beclin1* نقش مهمی در تنظیم فعالیت قوی ضد تومور دارد و افزایش بیان *Atg10* در سلول های این سرطان، می تواند سیگنال های مرگ ناشی از داروهای ضد سرطان را افزایش دهد (۱۸).

بیان ژن های *Atg10* و *Beclin1* در زیر گروه های بیماران ALL از نظر ایمنوفوتایپ: با تفکیک بیماران به ۴ زیر گروه early Pro B-ALL، mature B-ALL، pre-B-ALL و Pre-B-ALL (P=0.71)، تفاوت معناداری بین زیر گروه های ALL، به ترتیب با بیان ژن های *Beclin1* و *Atg10* مشاهده نشد.

همبستگی بین سطوح بیان ژن های *Atg10* و *Beclin1* با تجزیه و تحلیل آماری انجام گرفته به منظور تعیین وجود یا عدم وجود همبستگی معنادار بین بیان ژن های *Atg10* و *Beclin1* نشان داد که در هر دو گروه بیماران ALL و گروه کنترل نرمال بین بیان ژن های *Atg10* و *Beclin1* همبستگی معناداری مشاهده نشد (شکل ۲).



شکل (۲): نشانگر عدم وجود همبستگی معنادار بین بیان ژن های *Atg10* و *Beclin1*. با توجه به سطح معناداری P=۰.۹۲۶ و ضریب همبستگی r=-۰.۱۳، ارتباط معناداری بین بیان ژن *Atg10* و *Beclin1* وجود ندارد و می توان گفت که بیان این دو ژن تحت تأثیر یکدیگر نیستند.

مکانیسم هایی که تلاش می کنند تا بلاست ها را لوکمیک کنند، از یکی از سدهایی که باید عبور کنند و آن را به کنترل خود دریابوئند، اتوفاژی است که البته تائید این فرض نیازمند بررسی های گسترده تری است. شواهد نشان می دهد که بسته به شرایط سلول، مهار و یا سرکوب اتوفاژی به لوکوموژنزیس کمک می کند؛ یعنی همان طوری که سلول لوکمیک فارغ از رد، گروه و زیر گروه باید در سطح بیرونی سلول از سد سیستم ایمنی عبور کند تا بد خیمی منتشر شود، در سطح داخلی نیز باید از سد اتوفاژی عبور کند تا بتواند با موقیت مسیر لوکوموژنزیس را پیش ببرد. البته همچنان چه برای عبور از سد دفاعی ایمنی راهکارهای متفاوت و در مواقعي متضاد در پیش می گيرد برای عبور و مهار اتوفاژی هم لزوماً از یک مسیر پیش نمی رود. در تائید این گفته، در بد خیمی های مقاوم مطالعاتی انجام شده که پیشنهاد می کنند، باید ژن های اتوفاژی را غیر فعال کنند تا سلول لوکمیک به سمت مرگ برود که این حالت بیشتر زمانی مورد بحث است که سلول سلطانی در برابر درمان از خود مقاومت نشان می دهد (۲۳). این موضوع می تواند نشان دهنده این حقیقت باشد که هر چند در ابتدا بیان اتوفاژی پایین است اما در بیمارانی که به هر دلیلی مقاومت در برابر درمان نشان می دهند، پروسه لوکوموژنزیس می تواند از مسیر اتوفاژی به عنوان سیستم مقاومتی استفاده کنند و راهکار ارائه شده در این موارد مهار و کاهش بیان ژن های سیستم اتوفاژی است (۲۴).

نتیجہ گیری

با توجه به این که کاهش میزان بیان ژن های *Beclin 1* و *Atg 10* در بیماران B-ALL با مسیر سیگنال دهی *mTOR/AKT* و اختلال در آن همراه است و همچنین بیان این ژن ها برای شکل دهی اتوفاژی در سلول الزامی است از این جهت می توان گفت اکثر بیماران

همچنین در مطالعه‌ای روی بیماران مبتلا به سرطان معده چندین ژن اتوفارژی بررسی شده و مشاهده شده که کاهش بیان *ULK1*، *Atg 10* و *Beclin 1* در ارتباط با متاستاز سرطان است (۱۹)؛ بنابراین با توجه به این شواهد، کاهش بیان *Atg 10* و *Beclin 1* در مبتلایان به ALL، در مطالعه‌ی ما نیز حاکی از اهمیت فقدان این ژن‌ها در توسعه این بیماری است و اثر ضد لوکوموژنژیس اتوفارژی را نشان می‌دهد. با کاهشی که در بیان ژن‌های *1* *Atg 10* و *Beclin 1* در بیماران قبل از درمان مشاهده کردیم و نتایجی که بعد از درمان در سایر تومورها و لوکمی‌ها دیده شده است، می‌توان گفت که کاهش ژن‌های اتوفارژی راه را برای پروسه‌های لوکوموژنژیس هموارتر می‌کند و این نتیجه برداشت می‌شود که با افزایش اتوفارژی توسط داروهای، می‌توان در برابر این روند مقاومت نمود. در همین راستا مطالعات نشان داده اند که با اعمال اثر داروهای مرتبط با اتوفارژی روی سل لاین‌های ALL، از جمله داروی Everolimus روی سل لاین primary، NALM6، RS4;11، REH، SEM های FTY720 روی سل لاین primary، LK63، NALM6، REH، ALL1 های (۲۰)، بیان ژن‌های اتوفارژی افزایش می‌یابد که می‌تواند نشانی از کاهش اتوفارژی در سلول لوکمیک بوده باشد، هر چند که افزایش عملکرد به دنبال تیمار دارویی لزوماً کاهش بیان ژن در بیماری را نشان نمی‌دهد. از آنجایی که پروسه‌ی لوکوموژنژیس در کلیه بیماران ALL یکسان نیست و با توجه به اینکه نوع جهش و ایمنوفوتایپ در زیر گروه‌های ALL متفاوت است (۲)، با این حال نتایج *Beclin 1* نشان می‌دهد که بین میانگین بیان ژن‌های *1* *Atg 10* و *Pro B-ALL* در زیر گروه‌های ALL شامل *B-ALL*، *mature B-* و *Pre-B-ALL*، *early pre B-ALL*، تفاوت معناداری وجود ندارد و از طرفی در اکثر قریب به اتفاق بیماران تحت مطالعه‌ی ما، اتوفارژی کاهش پیدا کرده است که می‌توان این فرض را مطرح کرد که

در به انجام رساندن این پژوهش مساعدة کردند، کمال مبتلا به B-ALL در این تحقیق، کاهش در بیان ژن های اتوفارژی را بروز دادند.

تشکر و قدردانی را داریم.

تشکر و قدردانی

از کارکنان مرکز پیوند مغز استخوان بیمارستان طالقانی تهران که در جمع آوری نمونه ها و انجام مراحل آزمایشگاهی همکاری کردند و همچنین تمامی کسانی که

Reference

- Ekiz HA, Can G, Baran Y. Role of autophagy in the progression and suppression of leukemias. Crit Rev Oncol Hematol 2012;81:275-85.
- Hunger SP, Lu X, Devidas M, Camitta BM, Gaynon PS, Winick NJ, et al. Improved survival for children and adolescents with acute lymphoblastic leukemia between 1990 and 2005: a report from the children's oncology group. J Clin Oncol 2012;30:1663-9.
- Inaba H, Greaves M, Mullighan CG. Acute lymphoblastic leukaemia. Lancet 2013;381:1943-55.
- Pui C-H, Crist WM. Biology and treatment of acute lymphoblastic leukemia. J Pediatr 1994;124:491-503.
- Yang Y-p, Liang Z-q, Gu Z-l, Qin Z-h. Molecular mechanism and regulation of autophagy. Acta Pharmacol Sin 2005;26:1421-34.
- Ekiz HA, Can G, Baran Y. Role of autophagy in the progression and suppression of leukemias. Crit Rev Oncol Hematol 2012;81:275-85.
- Chen H-Y, White E. Role of autophagy in cancer prevention. Cancer Prev Res 2011;4:973-83.
- Evangelisti C, Evangelisti C, Chiarini F, Lonetti A, Buontempo F, Neri LM, et al. Autophagy in acute leukemias: a double-edged sword with important therapeutic implications. Biochim Biophys Acta 2015;1853:14-26.
- Vernon PJ, Tang D. Eat-me: autophagy, phagocytosis, and reactive oxygen species signaling. Antioxid Redox Signal 2013;18:677-91.
- Ravikumar B, Sarkar S, Davies JE, Futter M, Garcia-Arencibia M, Green-Thompson ZW, et al. Regulation of mammalian autophagy in physiology and pathophysiology. Physiol Rev 2010;90:1383-435.
- Wang CW, Klionsky DJ. The molecular mechanism of autophagy. Mol Med 2003;9:65-76.
- Duffy A, Le J, Sausville E, Emadi A. Autophagy modulation: a target for cancer treatment development. Cancer Chemother Pharmacol 2015;75:439-47.
- Wirawan E, Vanden Berghe T, Lippens S, Agostinis P, Vandenebeele P. Autophagy: for better or for worse. Cell Res 2012;22:43-61.
- Zhong Y, Wang QJ, Li X, Yan Y, Backer JM, Chait BT, et al. Distinct regulation of autophagic activity by Atg14L and Rubicon associated with Beclin 1-phosphatidylinositol-3-kinase complex. Nat Cell Biol 2009;11:468-76.
- Yuan JS, Reed A, Chen F, Stewart CN Jr. Statistical analysis of real-time PCR data. BMC Bioinformatic. 2006;7:85.

16. Gong C, Bauvy C, Tonelli G, Yue W, Delomenie C, Nicolas V, et al. Beclin 1 and autophagy are required for the tumorigenicity of breast cancer stem-like/progenitor cells. *Oncogene* 2013;32:2261-72.
17. Saito H, et al. Detailed deletion mapping of chromosome 17q in ovarian and breast cancers: 2-cM region on 17q21.3 often and commonly deleted in tumors. *Cancer Res.* 1993;53:3382–3385.
18. Sun Y, Liu J-h, Jin L, Lin S-m, Yang Y, Sui Y-x, et al. Over-expression of the Beclin1 gene upregulates chemosensitivity to anti-cancer drugs by enhancing therapy-induced apoptosis in cervix squamous carcinoma CaSki cells. *Cancer Lett* 2010;294:204-10.
19. Cao Q-H, Liu F, Yang Z-L, Fu X-H, Yang Z-H, Liu Q, et al. Prognostic value of autophagy related proteins ULK1, Beclin 1, ATG3, ATG5, ATG7, ATG9, ATG10, ATG12, LC3B and p62/SQSTM1 in gastric cancer. *Am J Transl Res* 2016;8: 3831-47.
20. Neri LM, Cani A, Martelli AM, Simioni C, Junghanss C, Tabellini G, et al. Targeting the PI3K/Akt/mTOR signaling pathway in B-precursor acute lymphoblastic leukemia and its therapeutic potential. *Leukemia* 2014;28:739-48.
21. Wallington-Beddoe CT, Hewson J, Bradstock KF, Bendall LJ. FTY720 produces caspase-independent cell death of acute lymphoblastic leukemia cells. *Autophagy* 2011;7:707-15.
22. Harrison CJ. Targeting signaling pathways in acute lymphoblastic leukemia: new insights. *Hematology Am Soc Hematol Educ Program* 2013;2013:118-25.
23. Torgersen ML, Engedal N, Bøe S-O, Hokland P, Simonsen A. Targeting autophagy potentiates the apoptotic effect of histone deacetylase inhibitors in t (8; 21) AML cells. *Blood* 2013;122:2467-76.
24. Karvela M, Baquero P, Kuntz EM, Mukhopadhyay A, Mitchell R, Allan EK, et al. ATG7 regulates energy metabolism, differentiation and survival of Philadelphia-chromosome-positive cells. *Autophagy* 2016;12:936-48.